

Domača naloga – model črvje verige

Jože Zobec

1 Uvod

To nalogo bi rad predstavil na malo drugačen način. Najprej bi rad pokazal končne rezultate in šele potem pot, kako pridemo do njih.

Tekom naloge bom ulomke v eni vrstici pisal kot

$$\frac{a_1 a_2 a_3 \dots a_N}{b_1 b_2 b_3 \dots b_M} \equiv a_1 a_2 a_3 \dots a_N / b_1 b_2 b_3 \dots b_M,$$

to pa zgolj zato, da se izognemo nepotrebnih oklepajev, tj. zavoljo lažjega branja.

V tej domači nalogi moram primerjati dva modela verig monomerov – tj. polimerov in sicer: model popolnoma gibke verige (PGV) in pa model črvje verige (WLC – *worm-like chain*). Ključne razlike so podane v tabeli 1.

Tabela 1: tu so predstavljene razlike med modeloma PGV in WLC. Model WLC je v limiti enak PGV, torej je WLC naravna razširitev PGV in smo res na pravi poti.

	PGV	WLC
F	$\frac{3}{2} k_B T \frac{r^2}{Na^2}$	$\frac{k_B T}{\ell_p} \left[\frac{r^2}{2Na} - \frac{r}{4} + \frac{Na}{4(1-r/Na)} \right]$
$\langle r^2 \rangle$	$a^2 N$	$\ell_p^2 (2L/\ell_p + e^{-2L/\ell_p})$
ℓ_p	$a/2$	$\kappa/k_B T = a\kappa_0/k_B T$

Shajamo iz Hamiltoniana

$$H = H_0 + H_{\text{upogib}} = H_0 + \frac{\kappa_0}{2} \sum_{i=0}^{N-1} |\hat{u}_i - \hat{u}_{i+1}|^2 = H_0 - \kappa_0 \sum_{i=0}^{N-1} \hat{u}_i \cdot \hat{u}_{i+1} + C, \quad (1)$$

kjer je C konstanta, ki pove zgolj dolžine verige in jo lahko mirne duše odštejemo. Vektorji \hat{u}_i so normirani, tj. $\hat{u} \equiv \vec{u}/|\vec{u}|$. V zvezni limiti lahko taisti Hamiltonian zapišemo kot

$$H \rightarrow \frac{\kappa}{2} \int_0^L \left| \frac{d\vec{t}}{ds} \right|^2 ds = \frac{\kappa}{2} \int_0^L c(s)^2 ds, \quad \hat{t} = \vec{t}/t, \quad \vec{t} = \frac{d\vec{r}}{ds}, \quad (2)$$

kjer smo uvedli nove skalirane parametre: $L = aN$, kjer je a dolžina monomera, $\kappa = a\kappa_0$, s pa je naravni parameter na naši krivulji (polimeru). Zaradi elastičnega člena v Hamiltonianu ne bomo imeli ostrih zavojev – polimer bo gladka krivulja, $c(s)$ bo definiran po vsem območju.

2 Upogibni modul in persistenčna dolžina

Upogibni modul κ je povezan s persistenčno dolžino prek sledeče identitete.

$$\kappa = k_B T \ell_p, \quad (3)$$

To lahko izračunamo prek korelacijskih členov v Hamiltonianu (1)

$$\langle \hat{u}_i \cdot \hat{u}_j \rangle = \langle \cos \theta \rangle = \frac{1}{\mathcal{N}} \int d\Omega \cos \theta \exp(\beta \kappa_0 \cos \theta), \quad (4)$$

kjer je \mathcal{N} ustrezna normalizacija, ki je kar isti integral, vendar brez $\cos \theta$. Integral (4) lahko zapišemo (po uvedbi nove spremenljivke $\cos \theta = x$) kot

$$\langle \hat{u}_i \cdot \hat{u}_j \rangle = \frac{\int_{-1}^1 x e^{x \beta \kappa_0} dx}{\int_{-1}^1 e^{x \beta \kappa_0} dx}. \quad (5)$$

Spodnji integral, tj. \mathcal{N} , lahko kar takoj izračunamo

$$\mathcal{N} = \int_{-1}^1 dx e^{\beta \kappa_0 x} = \frac{1}{\beta \kappa_0} e^{\beta \kappa_0} \Big|_{-1}^1 = \frac{e^{\beta \kappa_0} - e^{-\beta \kappa_0}}{\beta \kappa_0} = \frac{2 \operatorname{sh} \beta \kappa_0}{\beta \kappa_0}. \quad (6)$$

Z integralom v števcu je nekoliko drugače. Integrirati ga je treba „per partes“, vendar je tudi enostaven integral

$$\begin{aligned} \int_{-1}^1 x e^{\beta \kappa_0 x} dx &= \frac{1}{\beta \kappa_0} x e^{\beta \kappa_0 x} \Big|_{-1}^1 - \frac{1}{\beta \kappa_0} \int_{-1}^1 e^{\beta \kappa_0 x} dx = \\ &= \frac{1}{\beta \kappa_0} \left[x e^{\beta \kappa_0 x} - \frac{1}{\beta \kappa_0} e^{\beta \kappa_0 x} \right]_{x=-1}^{x=1} = \\ &= \frac{2}{\beta \kappa_0} \left(\operatorname{ch} \beta \kappa_0 - \frac{1}{\beta \kappa_0} \operatorname{sh} \beta \kappa_0 \right). \end{aligned} \quad (7)$$

Izraz (4) je torej enak

$$\langle \hat{u}_i \cdot \hat{u}_j \rangle = \langle \cos \theta \rangle = \frac{\operatorname{ch} \beta \kappa_0}{\operatorname{sh} \beta \kappa_0} - \frac{1}{\beta \kappa_0}. \quad (8)$$

Z razvojem za majhne β dobimo obnašanje okrog $T \rightarrow \infty$, ki je linearno, vendar takrat verjetno nimamo več polimerne faze. Izraz (8) je treba razviti za nizke temperature, oz. velike β in dobimo rezultat

$$\langle \cos \theta \rangle \xrightarrow{\beta \rightarrow \infty} 1 - \frac{1}{\beta \kappa_0}. \quad (9)$$

Vendar pa lahko enačbo (4) izračunamo tudi drugače. Ker vemo da gre za korelacije in vemo, da morajo slednje padati eksponentno glede na persistenčno dolžino, mora hkrati veljati tudi to

$$\langle \hat{u}_i \cdot \hat{u}_j \rangle = \exp \left(- \frac{|i - j| a}{\ell_p} \right). \quad (10)$$

Hamiltonian nam narekuje, da moramo gledati korelacije sosedov, zatoj vzamemo $j = i + 1$,

$$\langle \hat{u}_i \cdot \hat{u}_j \rangle = \exp \left(-\frac{a}{\ell_p} \right) \approx 1 - \frac{a}{\ell_p}. \quad (11)$$

Če sedaj primerjamo enačbi (11) in (9), dobimo

$$\ell_p = a\kappa_0\beta = \kappa\beta = \frac{\kappa}{k_B T} \quad (12)$$

3 Entropijska elastičnost

To smo v PGV ponazorili z F , tj. prosto energijo. V potu profesorjevega obraza smo se prebili do izraza

$$F = \frac{3}{2}k_B T \frac{r^2}{Na^2}. \quad (13)$$

Tu se bomo vsega seveda lotili prek Hamiltoniana (2). Naš polimer bomo sedaj raztegnili s silo \mathcal{F} v smeri \hat{r} in tako dobili

$$H' = H - \mathcal{F}\hat{r} \cdot \int_0^L \hat{t}(s)ds. \quad (14)$$

Dodatek v hamiltonianu predstavlja prejeta delo. Recimo, da je sila močna, tako da je \hat{t} skoraj vzporeden na \hat{r} . Potem se splača \hat{t} parametrizirati glede na smer \hat{r} tako, da $\hat{t}(s) = t_{\parallel}\hat{e}_x + \vec{t}_{\perp}(s)$. Vektorja $\hat{t}(s)$ lahko v vsaki točki opišemo le z dvema komponentama, če ustrezno izberemo koordinatni sistem, vendar se bo ta zaradi zvijanja polimerne klobke moral vrteti, zaradi česar $\vec{t}_{\perp}(s)$ ostaja dvokomponentni vektor.

Zaradi velike obremenitve lahko izraze v en. (14) poenostavimo tako

$$\hat{r} \cdot \hat{t} \approx t_{\parallel} = \sqrt{1 - |\vec{t}_{\perp}|^2} \approx 1 - \frac{1}{2}|\vec{t}_{\perp}|^2 \quad (15)$$

$$\left| \frac{dt_{\parallel}}{ds} \right|^2 = \left(\frac{dt_{\parallel}}{ds} \right)^2 + \left| \frac{d\vec{t}_{\perp}}{ds} \right|^2 \approx \left| \frac{d\vec{t}_{\perp}}{ds} \right|^2. \quad (16)$$

Naš Hamiltonian (14) tako postane

$$H \approx \int_0^L \left(\frac{\kappa}{2} \left| \frac{d\vec{t}_{\perp}}{ds} \right|^2 + \frac{\mathcal{F}}{2} |\vec{t}_{\perp}|^2 \right) ds - \mathcal{F}L. \quad (17)$$

Radi bi se znebili diferencialov in operirali le s \vec{t}_{\perp} -ji, zato bomo naredili Fourierovo transformacijo in dobili čisto integralsko enačbo. Preživeli bodo le kosinusni členi,

$$\vec{t}_{\perp} = 2 \sum_q \vec{a}_q \cos qs, \quad (18)$$

$$\vec{a}_q \equiv \frac{1}{L} \int_0^L ds \vec{t}_{\perp} \cos qs, \quad (19)$$

s čimer dodatno poenostavimo en. (17)

$$H = L \sum_{q=1}^{\infty} (\kappa q^2 + \mathcal{F}) |\vec{a}_q|^2 - \mathcal{F}L. \quad (20)$$

Porazdelitev spremenljivk takega hamiltoniana je Gaussova in iz ekviparticijskega izreka vemo, da na vsako prostostno stopnjo pride $k_B T/2$ energije. Ker ima naš vektor \vec{a}_q dimenzijo 2, pomeni da bomo imeli ravno $k_B T$, tj. če nadaljujemo od (20)

$$H = L \sum_{q=0}^{\infty} \overbrace{(\kappa q^2 + \mathcal{F}) \langle |\vec{a}_q|^2 \rangle}^{k_B T}. \quad (21)$$

To vedoč lahko izračunamo raztezek r prek en. (15)

$$\begin{aligned} \frac{r}{L} &= \frac{1}{L} \int_0^L \langle \hat{r} \cdot \hat{t} \rangle \approx 1 - \frac{1}{2L} \int_0^L \langle |\vec{t}_{\perp}(s)|^2 \rangle ds = \\ &= 1 - 2 \sum_q \langle |\vec{a}_q|^2 \rangle \approx 1 - \frac{1}{\pi} \int_0^{\infty} dq \langle |\vec{a}_q|^2 \rangle = 1 - \frac{k_B T}{\pi} \int_0^{\infty} \frac{dq}{\kappa q^2 + \mathcal{F}} = \\ &= 1 - \frac{k_B T}{\pi \kappa} \int_0^{\infty} \frac{dq}{q^2 + \mathcal{F}/\kappa} = 1 - \frac{k_B T}{\pi \kappa} \sqrt{\frac{\kappa}{\mathcal{F}}} \arctg \left(q \sqrt{\frac{\kappa}{\mathcal{F}}} \right) \Big|_{q=0}^{q=\infty} = \\ &= 1 - \frac{k_B T}{\pi \sqrt{\kappa \mathcal{F}}} \frac{\pi}{2} = 1 - \frac{k_B T}{\sqrt{4 \kappa \mathcal{F}}}, \end{aligned} \quad (22)$$

sedaj pa še uporabimo $\kappa = \ell_p k_B T$ in dobimo

$$\frac{r}{L} \approx 1 - \sqrt{\frac{k_B T}{4 \ell_p \mathcal{F}}}, \quad \text{oz.} \quad \mathcal{F} \approx \frac{k_B T}{4 \ell_p} \frac{1}{(1 - r/L)^2}. \quad (23)$$

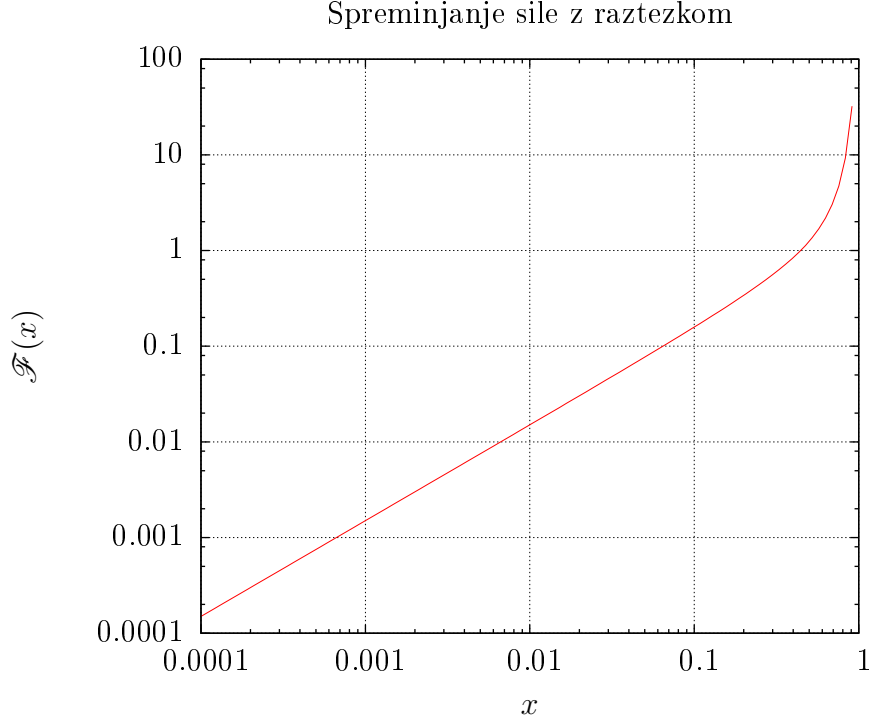
Ta enačba je veljavna v režimu velikih obremenitev. Pravi rezultat izgleda takole

$$\mathcal{F}(r) = \frac{k_B T}{\ell_p} \left[\frac{r}{L} + \frac{1}{4} \left(\frac{1}{(1 - r/L)^2} - 1 \right) \right]. \quad (24)$$

Sedaj se že kar sama od sebe ponuja substitucija v brezdimenzijsko obliko

$$\mathcal{F} = \frac{\mathcal{F} \ell_p}{k_B T}, \quad x = r/L.$$

Funkcijo $\mathcal{F}(x)$ vidimo na grafu 1 v log-log skali.



Slika 1: Kot vidimo, imamo na začetku res v zelo dobrem približku linearen odziv, ki pa blizu pola hitro naraste čez vse meje in pri ‘ $x = 1$ ’ dobimo potenčno singularnost.

Izraz (24) lahko integriramo, in tako dobimo prosto energijo F , ki tukaj predstavlja prožnostno energijo. Naredimo nedoločen integral po r ,

$$\begin{aligned}
 F &= \int \mathcal{F}(r) dr = \frac{k_B T}{\ell_p} \int dr \left[\frac{r}{L} - \frac{1}{4} + \frac{1}{4(1 - r/L)^2} \right] = \\
 &= \frac{k_B T}{\ell_p} \left[\frac{r^2}{2L} - \frac{r}{4} + \frac{L}{4} \frac{1}{1 - r/L} \right] + \text{konst.}
 \end{aligned} \tag{25}$$

Če izraz (25) razvijemo za $r \ll L$ in upoštevamo, da v tem primeru velja $\ell_p = a/2$ in $L = Na$, potem dobimo

$$\begin{aligned}
 F &= \frac{2k_B T}{a} \left[\frac{r^2}{2L} - \frac{r}{4} + \frac{L}{4} (1 + r/L + r^2/L^2) \right] + \text{konst.} = \\
 &= \frac{2k_B T}{a} \frac{3r^2}{4L} + \text{konst.} = \frac{3}{2} k_B T \frac{r^2}{Na^2} + \text{konst.}
 \end{aligned} \tag{26}$$

kjer sem izraz razvil do $\mathcal{O}(r^3)$ in do aditivne konstante natančno. Izraz (26) je natanko enak tistemu, ki ga dobimo v režimu PGV.

4 Povprečen kvadrat oddaljenosti v r

Pa izračunajmo ta $\langle r^2 \rangle$. Tega se bomo lotili tako

$$\begin{aligned}
\langle r^2 \rangle &= \langle \vec{r} \cdot \vec{r} \rangle = \\
&= \left\langle \int_0^L \vec{t}(s) ds \cdot \int_0^L \vec{t}(s') ds' \right\rangle = \\
&= \int_0^L ds \int_0^L ds' \langle \vec{t}(s) \cdot \vec{t}(s') \rangle = \\
&= \int_0^L ds \int_0^L ds' e^{|s-s'|/\ell_p}, \tag{27}
\end{aligned}$$

kjer smo uporabili dejstvo, da morajo korelacije padati eksponentno, saj je sistem zadosti ergodičen. Zaradi te absolutne vrednosti moramo paziti, kako bomo naprej integrirali. Integral bomo razbili na dva primera:

$$\begin{aligned}
s < s' &\longrightarrow e^{-\frac{s-s'}{\ell_p}}, \\
s > s' &\longrightarrow e^{-\frac{s'-s}{\ell_p}}.
\end{aligned}$$

Sedaj lahko nadaljujemo od (27) in uporabimo aditivnost integralov

$$\begin{aligned}
\langle r^2 \rangle &= \int_0^L ds \left[\int_0^s ds' e^{-(s-s')/\ell_p} + \int_s^L ds' e^{-(s'-s)/\ell_p} \right] = \\
&= \ell_p \int_0^L ds \left[1 - e^{-s/\ell_p} + 1 - e^{-s/\ell_p} e^{-L/\ell_p} \right] = \\
&= \ell_p^2 \left(2L/\ell_p + e^{-2L/\ell_p} \right). \tag{28}
\end{aligned}$$

Naredimo limito za dolge verige – $L \gg \ell_p$,

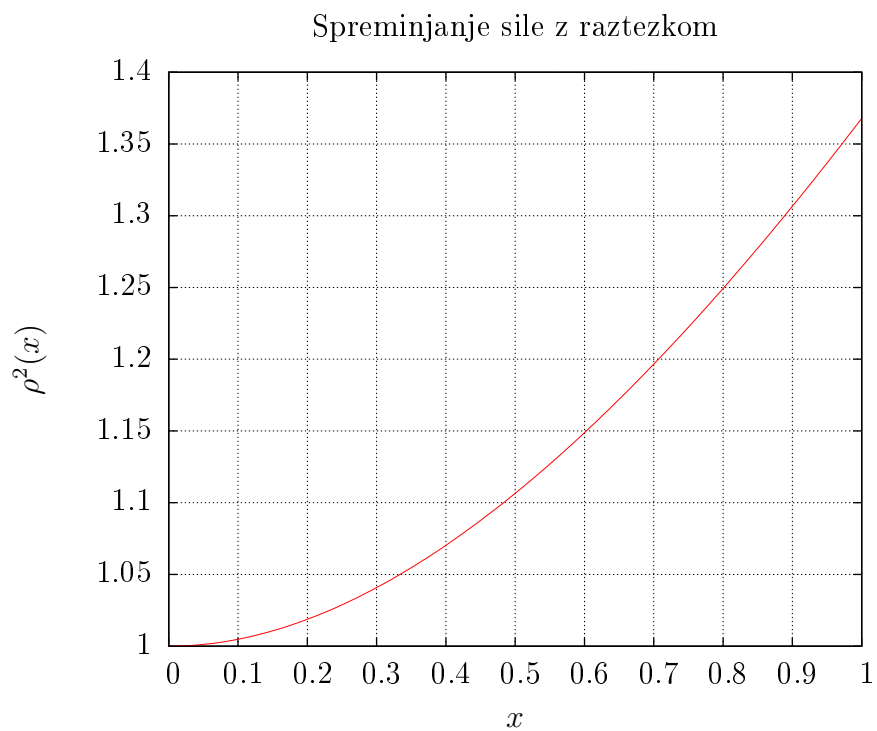
$$r^2 \sim 2\ell_p L = 2\ell_p Na \approx Na^2 \implies r \sim a\sqrt{N}, \tag{29}$$

kjer smo upoštevali, da je v tej limiti $\ell_p = a/2$. To je čisto isti rezultat kot v PGV. Kadar pa je veriga prekratka se ne bo obnašala kot PGV, ampak bo za $L \ll \ell_p$ veljalo

$$r \propto \ell_p, \tag{30}$$

kar je seveda smiselno: takrat bo veriga namreč bila tako kratka, da bo edina karakteristična dolžina ki jo veriga pozna, kar persistenčna dolžina ℓ_p .

Spet lahko na podlagi enačbe (29) vpeljemo brezdimenzijski $\rho^2(x)$, kjer smo tokrat vzeli $x = 2L/\ell_p$. Graf lahko vidimo na sliki 2.



Slika 2: Pričnemo s konstantnim členom, kot napoveduje enačba (30). Ko polimerna klobka postaja daljša, smo čedalje bolj v linearnem režimu.